

**ФЕНОМЕНОЛОГИЧЕСКАЯ ПАРАМЕТРИЗАЦИЯ ВОЛНОВОЙ
ФУНКЦИИ ДЕЙТРОНА НА ОСНОВЕ ДАННЫХ О СЕЧЕНИЯХ
И АНАЛИЗИРУЮЩЕЙ СПОСОБНОСТИ РЕАКЦИИ A(d, p)**

Л.Пенчев, И.М.Ситник, Е.А.Строковский

Выполнен совместный анализ данных по сечениям и тензорной анализирующей способности реакций фрагментации дейтрана и упругого $d\bar{p}$ -рассеяния назад. В рамках импульсного приближения получено два вида параметризации для s- и d-волн в дейтране, на основании которых делаются предсказания о поведении коэффициента передачи поляризации от дейтрана к протону-наблюдателю в реакции $d \rightarrow p$ фрагментации.

Работа выполнена в Лаборатории высоких энергий ОИЯИ.

Phenomenological Parametrization of the Deuteron Wave Function Based on Experimental Data of Cross Sections and Tensor Analyzing Power of the A(d,p) Reaction

L.Penchev, I.M.Sitnik, E.A.Strokovsky

An analysis of experimental data both on the cross sections and tensor analyzing power of the reactions of deuteron fragmentation and elastic $d\bar{p}$ backward scattering has been performed. Two types of parametrization of the deuteron s- and d-waves have been obtained in the framework of the impulse approximation. The polarization-transfer coefficient in the $d \rightarrow p$ fragmentation reaction has been predicted.

The investigation has been performed at the Laboratory of High Energies, JINR.

В работах^{/1/} получены данные по сечению фрагментации дейтрана A(d, p) в широком интервале импульсов протона-наблюдателя при импульсе дейтрана 9 ГэВ/с. Если рассматривать эту реакцию в рамках импульсного приближения (ИП), где дейтран фигурирует как пр-система, то сравнение с расчетами с использованием реалистических NN-потенциалов дает указание на наличие в дейтране ненуклонных степеней свободы. Импульсное распределение нуклонов в дейтране (ИРНД)^{/2/}, извлеченное из данных^{/1/}, хорошо совпадает с ИРНД, извлеченными из данных $d(e, e')$ ^{/3/}, и хорошо описывает энергетическую зависимость

сечений упругого $d\bar{p}$ -рассеяния назад в предположении, что в этом процессе доминирует механизм одноклонного обмена^{/4/}. Существуют альтернативные объяснения эффекта, наблюдавшегося в упомянутых реакциях, сводящиеся к тому, что дейтрон можно по-прежнему считать системой, где доминирует NN-состояние, а эффекты взаимодействия в конечном состоянии (ВКС) достаточно велики для того, чтобы объяснить разницу между наблюдаемыми сечениями и расчетами, сделанными в импульсном приближении.

Измерение поляризационных характеристик процесса $A(d\uparrow, p)$ поможет, в принципе, продвинуться в понимании механизма рассматриваемой реакции (доминирует механизм ИП или нет). Если механизм ИП доминирует, возможно восстановление отдельно s- и d- волн волновой функции дейтранона.

При вылете протона-наблюдателя в направлении падающего на мишень дейтранона возможны два вида поляризационных экспериментов:

1) измерение отношений выхода протонов в зависимости от величины тензорной поляризации пучка дейтранонов,

2) измерение отношения поляризации протона-наблюдателя (повторное рассеяние) к векторной поляризации дейтранона.

Анализирующая способность реакции (T_{20}) на тензорно-поляризованном пучке (для случая, когда ось квантования перпендикулярна импульсу) связывается с сечениями следующим соотношением:

$$\frac{\sigma(\pm)}{\sigma(0)} = 1 - \frac{1}{2} \rho_{20} (\pm) T_{20}. \quad (1)$$

T_{20} выражается через s- и d-компоненты волновой функции дейтранона (u, w) в рамках ИП формулой:

$$T_{20} = \frac{w}{\sqrt{2}} \frac{2\sqrt{2} u - w}{u^2 + w^2}. \quad (2)$$

Этой же формулой выражается анализирующая способность реакции упругого $d\bar{p}$ -рассеяния назад^{/5/}.

Коэффициент передачи поляризации от дейтранона к протону определяется как $\kappa = P_p / P_d$, где P_d и P_p — степени поляризации дейтранона и протона:

$$P_d = \frac{n_+ - n_-}{n_+ + n_- + n_0}, \quad P_p = \frac{n_+^p - n_-^p}{n_+^p + n_-^p}. \quad (3)$$

Коэффициент κ выражается через s - и d -компоненты волновой функции дейтрона в рамках ИП формулой (для чисто векторной поляризации пучка):

$$\kappa = \frac{u^2 - w^2 - \frac{uw}{\sqrt{2}}}{u^2 + w^2} . \quad (4)$$

Отметим, что соотношения (2), (4) могут быть представлены как функции одной переменной $x = w/u$:

$$T_{20} = \frac{x(2\sqrt{2} - x)}{\sqrt{2}(1+x^2)}, \quad \kappa = \frac{1 - x^2 - x/\sqrt{2}}{1 + x^2} . \quad (5,6)$$

Данные измерений величины $T_{20}^{1/6}$, как и сечения $^{1/1}$, плохо согласуются с предсказаниями (в рамках ИП), основанными на использовании популярных волновых функций с реалистическим NN-потенциалом (Reid, Paris и т.д.).

Методом подгонки, в предположении, что доминирует механизм ИП, найдена параметризация s - и d -волн ("Дубна-1"), дающая хорошее согласие с наборами данных по сечениям и анализирующей способности T_{20} (рис.1):

$$\frac{u(k)}{k} = \sum a_i \exp(-\alpha_i k^2), \quad (7)$$

$$\frac{w(k)}{k} = k^2 \sum b_i \exp(-\beta_i k^2), \quad (8)$$

при нормировке

$$\int (u^2(k) + w^2(k)) dk = 1.$$

Значения коэффициентов приведены в табл.1. Ряды вида (7), (8) широко используются при параметризации компонент ВФД; они удобны для перехода из импульсного в координатное пространство и наоборот.

Эта параметризация хорошо описывает данные по T_{20} , полученные в Сакле $^{7/}$ в экспериментах $H(d, p)$ и $^{12}C(d, p)$ для импульсов дейтрона 2,5 и 3,5 ГэВ/с, а также результаты измерений T_{20} в реакции упругого dp -рассеяния назад $^{8/}$. Замена переменных для данных $^{8/}$ на рис.1 осуществлена по формулам $^{4/}$.

В работе $^{9/}$ делается попытка показать, что данные по T_{20} можно объяснить с помощью поправок на ВКС, используя при

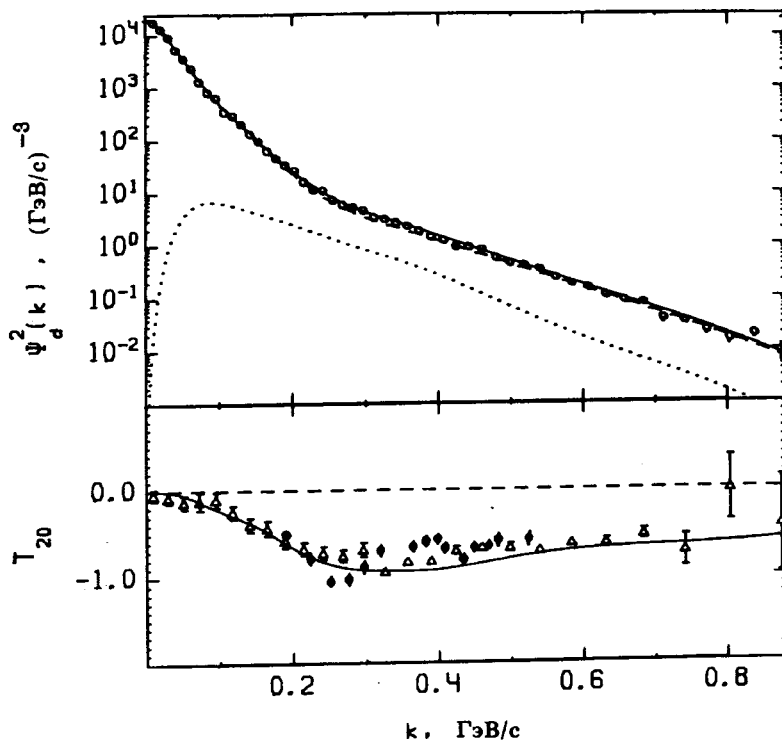


Рис.1. Распределение нуклонов в дейтроне $\Psi^2(k)^{1/3}$ и $T_{20}(k)$ (Δ — данные^{/6/}, ● — из данных^{/8/}) в зависимости от "внутреннего импульса". Сплошные кривые — $\Psi^2(k)$ и $T_{20}(k)$ для параметризации "Дубна-1". Штриховая и точечные кривые — квадраты s- и d-волн соответственно.

Таблица 1

1	"Дубна-1"				"Дубна-2"			
	a	α	b	β	a	α	b	β
1	1,152	3,451	-2,060	5,500	-0,216	4,000	-6,740	5,165
2	2,273	10,99	-36,23	17,17	8,011	25,00	-56,03	15,77
3	30,13	65,09	-218,9	61,14	34,37	88,63	-76,31	50,07
4	65,64	315,1	-814,9	205,0	71,02	370,6	-218,2	52,59
5	39,80	1221			31,93	1277	-1130	205,7

этом популярные волновые функции дейтрона. В этом подходе удалось удовлетворительно описать поведение T_{20} только для значений внутреннего импульса $k < 0,4$ ГэВ/с. Кроме того, поправки рассчитаны для импульса дейтрона 9 ГэВ/с, и не показано, что для энергий ускорителя в Сакле они не изменяются. Отметим еще попытку описать обсуждаемые данные в работе ¹⁰.

Если исходить из того, что расчет ⁹ правильный, можно попытаться построить ВФД таким образом, чтобы для $k < 0,4$ ГэВ/с она совпадала со стандартными волновыми функциями, а при больших значениях k (когда поправки вымирают ⁹) согласовывалась бы с имеющимися данными в рамках ИП. Этот вариант ВФД ("Дубна-2") показан на рис.2, коэффициенты рядов (7), (8) даны в табл.1.

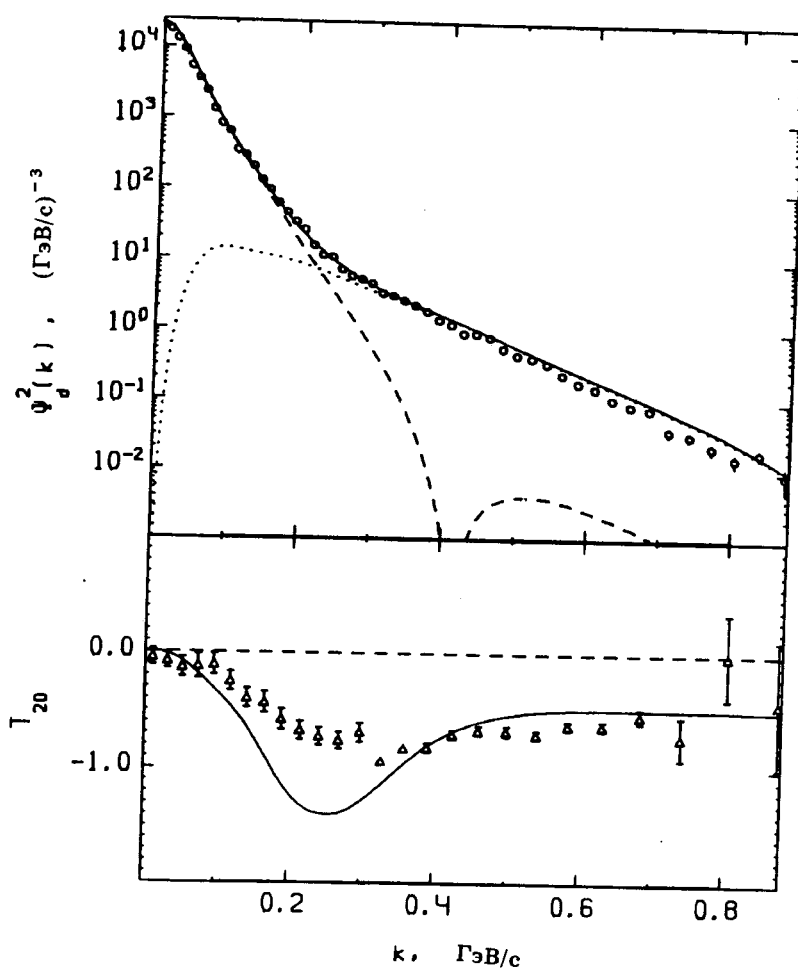


Рис.2. То же, что на рис.1, для параметризации "Дубна-2".

Таблица 2

	Вероятность d-волны, %	Среднекв. радиус, фм	Квадруп. момент, фм ²
RSC (Reid)*	6,47	1,957	0,279
Paris*	5,77	1,971	0,279
"Дубна-1"	2,96	1,865	0,241
"Дубна-2"	11,73	1,945	0,293
эксперимент*	3,9	1,956	0,286

* Взято из работы^{/14/}

Статические характеристики дейтрона, рассчитанные на основе параметризаций "Дубна-1" и "Дубна-2", приведены в табл.2. Вероятность d-волны (P_d) извлечена из экспериментальных данных по формуле:

$$\mu_d = (\mu_p + \mu_n) \left(1 - \frac{3}{2} P_d\right) + \frac{3}{4} P_d, \quad (9)$$

где μ_p , μ_n и μ_d — магнитные моменты соответственно протона, нейтрона и дейтрона.

Главная особенность параметризации "Дубна-1" состоит в том, что s-волна, в отличие от s-волн большинства реалистических волновых функций, не пересекает нуль. Этот результат устойчивый и связан с тем, что значения T_{20} не достигают величины $-\sqrt{2}$, что должно случиться при импульсе $k < k_0$ (где $w(k) = -\sqrt{2} u(k)$), если s-волна пересекает нуль в точке k_0 (это нетрудно увидеть, анализируя на экстремумы формулу (5)).

В работе^{/11/} приводится набор из 28 волновых функций дейтрона, удовлетворяющих надежно установленным статическим характеристикам дейтрона. Эти функции отличаются поведением s- и d-волн при средних и малых расстояниях и рассчитаны для интегральных вкладов d-волны 4%, 6% и 8%. Для трех из этих волновых функций ($I\Psi_{LS}^{4A}$, $I\Psi_{LS}^{8A}$ и $II\Psi_{LS}^{8A}$) поведение s-волны такое же, как и в параметризации "Дубна-1", однако из-за большего вклада d-волны для них достигается условие $w(k) = -\sqrt{2} u(k)$, где согласно (5) $T_{20} = -\sqrt{2}$. Интересно отметить, что, согласно^{/12/}, такому поведению волновых функций $I\Psi_{LS}^{4A}$, $I\Psi_{LS}^{8A}$ и $II\Psi_{LS}^{8A}$ соответствует притягивающий на малых расстояниях ($r < 1$ фм) центральный NN-потенциал.

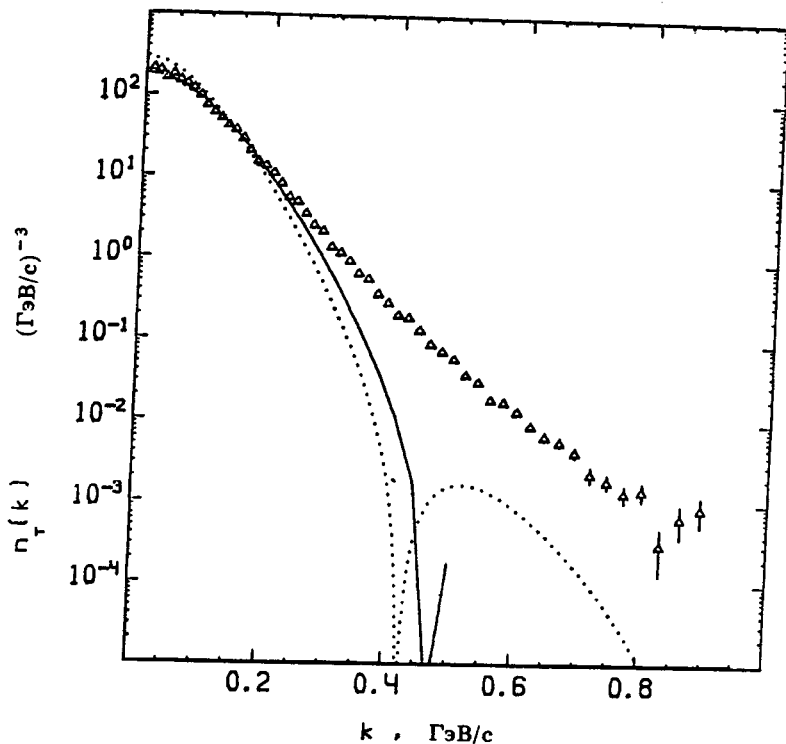


Рис.3. Импульсное распределение тритонов в ${}^4\text{He}$ из реакции ${}^{12}\text{C}({}^4\text{He}, \text{t})$; сплошная кривая — расчет /15/ с использованием Urbana-потенциала, точечная кривая — расчет /16/ с RSC -потенциалом.

Отметим также, что полученное в рамках ИП импульсное распределение тритона в ${}^4\text{He}$ из реакции ${}^{12}\text{C}({}^4\text{He}, \text{t})$ ^{/13/} не имеет минимума, предсказанного расчетами с использованием популярных NN-потенциалов. Эта реакция интересна тем, что состояние $(\text{t} + \text{p})$ ядра ${}^4\text{He}$ описывается только s-волной. Для объяснения показанного на рис.3 расхождения между предсказаниями и экспериментом может быть выдвинуто несколько соображений. Вполне конкурентоспособным среди них был бы расчет с использованием волновой функции типа "Дубна-1".

В параметризации "Дубна-2", как видно из рис.2, после пересечения s-волной нуля доминирует d-волну. Этот результат также устойчивый. В то же время положение минимума T_{20} весьма чувствительно к незначительному изменению двух членов в формуле (7) с наименьшими показателями в экспоненте.

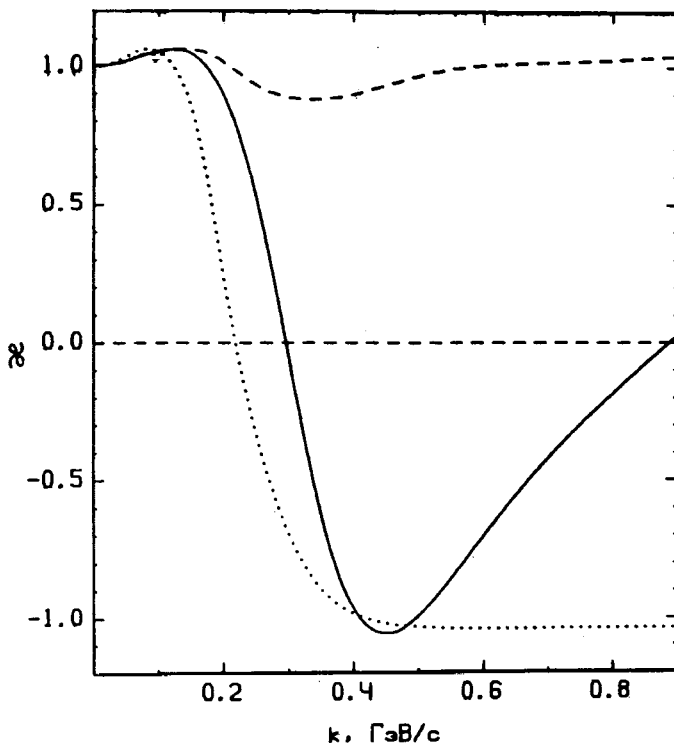


Рис.4. Зависимость коэффициента передачи поляризации от дейтрана к протону в рамках импульсного приближения для парижского потенциала (сплошная кривая), параметризаций "Дубна-1" (штриховая кривая) и "Дубна-2" (точечная кривая).

Измерение коэффициента передачи поляризации от дейтранона к протону было бы хорошим тестом для моделей, претендующих на объяснение эффектов, наблюденных в экспериментах по сечениям и тензорной анализирующей способности процесса фрагментации дейтранона. В тех областях по k , где механизм ИП доминирует, все три типа экспериментов (сечение, T_{20} и κ) должны давать согласованные результаты. Расчет в рамках ИП для κ на основе стандартной волновой функции, а также приведенных здесь параметризаций, показан на рис.4. Следует заметить, что до конца последовательной является кривая для параметризации "Дубна-1" (всюду импульсное приближение). Если механизм поправок на ВКС существенен, то параметризация "Дубна-1" не имеет права на жизнь, а кривые, полученные на основе стандартной волновой функции и параметризации "Дубна-2", должны быть как-то модифицированы.

фицированы. Такая модификация может сместить точку, в которой кривые пересекают нуль, но вряд ли отменит сам факт такого пересечения. Для кривой с использованием параметризации "Дубна-2" точка пересечения нуля может быть легко смешена также путем незначительной вариации членов ряда (7), о которых говорилось выше (пересечение нуля для k и минимум в T_{20} достигаются при одном и том же значении аргумента). Близость k к значению -1 при значениях $k > 0,4$ ГэВ/с для параметризации "Дубна-2" является устойчивым результатом (поправки на ВКС вымирают), отражающим факт доминирования d -волны в этой области.

В заключение мы хотели бы поблагодарить своих коллег, совместно с которыми нами были получены данные, стимулировавшие эту статью, В.Г.Аблеева, Л.Визиреву, С.В.Джмухадзе, С.А.Запорожца, А.П.Кобушкина, Б.Кюна, Б.Наумани, Л.Науманна, В.Нойберта, А.А.Номофилова, Н.М.Пискунова, Л.Н.Струнова, В.И.Шарова. Мы благодарим также В.А.Карманова, Г.И.Лыкасова, М.П.Рекало за полезные обсуждения.

Л и т е р а т у р а

1. Ableev V.G. et al. — Nucl.Phys., 1983, A393, p.491; A411, p.541(E); Запорожец С.А. и др. — В сб.: Труды VIII Межд. семинара по проблемам физики высоких энергий, ОИЯИ, Д1.2-86-668, Дубна, 1986, т.1, с.341; Аблеев В.Г. и др. — В сб.: Малочастичные и кварк-адронные системы, ОИЯИ, Д4-87-692, Дубна, 1987, с.140.
2. Аблеев В.Г. и др. — Письма в ЖЭТФ, 1983, 37, с.196.
3. Bosted P. et al. — Phys.Rev.Lett., 1982, 49, p.1380.
4. Kobushkin A.P. — J.Phys.G: Nucl.Phys., 1986, 12, p.487.
5. Vasan S.S. — Phys.Rev., 1973, D8, p.4092; Карманов В.А. — ЯФ, 1981, 34, с.1020.
6. Аблеев В.Г. и др. — Письма в ЖЭТФ, 1988, 47, с.558;
Аблеев В.Г. и др. — В сб.: Краткие сообщения ОИЯИ, №4 (43)-90, Дубна, 1990, с.5.
7. Perdrisat C.F. et al. — Phys.Rev.Lett., 1987, 59, p.2840.
8. Arvieux J. et al. — Nucl.Phys., 1984, A431, p.613.
9. Dolidze M.G., Lykasov G.I. — Preprint JINR E2-89-666, Dubna, 1989.
10. Браун М.А., Токарев М.В. — В сб.: Нуклон-нуклонные и адрон-ядерные взаимодействия при промежуточных энергиях. Л.: ЛИЯФ АН СССР, 1986, с.31.

11. Certov A., Mathelitsch L., Moravcsik M.J. — Phys.Rev., 1987, C36, p.2040.
12. Oteo J.A. — Contributed Papers from 12-th International Conference on Few Body Problems in Physics, Vancouver, Canada, July 2-8, 1989, TRI-89-2, 1989, G11.
13. Ableev V.G. et al. Preprint JINR E1-89-341, Dubna, 1989.
14. Krasnopolksky V.M. et al. — Phys.Lett., 1985, B165, p.7.
15. Schiavilla R., Pandharipande V.R., Wiringa R.B. — Nucl.Phys., 1986, A449, p.219.
16. Morita H., Akaishi Y., Tanaka H. — Prog.Theor.Phys., 1988, 79, p.863.

Рукопись поступила 14 июня 1990 года.